

Волны пионной и киральной плотности в (1+1)-мерной модели Намбу–Йона–Лазинио

Н. В. Губина¹, В. Ч. Жуковский^{1,a}, К. Г. Клименко^{2,b}, С. Г. Курбанов¹

¹*Московский государственный университет имени М. В. Ломоносова, физический факультет, кафедра теоретической физики. Россия, 119991, Москва, Ленинские горы, д. 1, стр. 2.*

²*Институт физики высоких энергий и Университет «Дубна». Россия, 142281, Московская область, г. Протвино.*

E-mail: ^a*zhukovsk@phys.msu.ru*, ^b*kklim@ihep.ru*

Статья поступила 21.09.2011, подписана в печать 05.10.2011

В пределе большого числа цветов исследуется (1+1)-мерная безмассовая модель Намбу–Йона–Лазинио, описывающая систему с кварками двух ароматов, при наличии барионного μ и изотопического μ_I химпотенциалов. Рассматривается возможность образования в плотной кварковой среде пространственно неоднородных кирального и пионной конденсатов.

Ключевые слова: модель НЙЛ, химический потенциал, термодинамический потенциал, фазовая диаграмма, пространственно неоднородный конденсат, волна киральной плотности, волна пионной плотности.

УДК: 530.145. PACS: 11.10.Kk, 02.60.Pn.

Введение

В настоящей работе рассматривается обобщение модели Гросса–Невё [1] с одним типом (ароматом) кварков на случай двух различных ароматов с учетом соответствующих химических потенциалов. Лагранжиан (1+1)-мерной массивной модели с добавление четырехфермионного взаимодействия типа Намбу–Йона–Лазинио (НЙЛ), описывающей плотную кварковую среду в терминах u - и d -кварков, имеет вид

$$\mathcal{L} = \bar{q} \left[\gamma^\rho i\partial_\rho + \mu\gamma^0 + \nu\tau_3\gamma^0 - m_0 \right] q + \frac{G}{N_c} \left[(\bar{q}q)^2 + (\bar{q}i\gamma^5\tau q)^2 \right], \quad (1)$$

где гамма-матрицы выбраны следующим образом: $\gamma^0 = \sigma_2$, $\gamma^1 = i\sigma_1$, $\gamma^5 = \gamma^0\gamma^1 = \sigma_3$, а двукомпонентные дираковские спиноры $q(x) \equiv q_{ia}(x)$ являются дублетом по ароматам ($i = 1, 2$) с соответствующими матрицами Паули τ_a ($a = 1, 2, 3$) и N_c -плетом по цветам ($\alpha = 1, \dots, N_c$). Химический потенциал μ отвечает за ненулевую барионную плотность кварковой среды, в то время как изоспиновый химический потенциал $\mu_I = 2\nu$ рассматривается для изучения случая ненулевой изоспиновой плотности, учитывающей асимметрию среды по изотопическому составу.

Полученная модель инвариантна относительно следующих групп симметрий. При $\mu_I = 0$ и $m_0 = 0$, кроме глобальной $SU(N_c)$ -симметрии по цветовому индексу, исходный лагранжиан инвариантен относительно преобразований киральной $SU_L(2) \times SU_R(2)$ группы. Однако при $\mu_I \neq 0$ группа симметрий сводится к $U_{I_3 L}(1) \times U_{I_3 R}(1)$, где $I_3 = \tau_3/2$ является третьей компонентой оператора изоспина. Отметим, что исходный лагранжиан инвариантен также относительно преобразований четности.

1. Термодинамический потенциал модели

При изучении модели в процессе бозонизации вводим новые поля:

$$\sigma(x) = -2 \frac{G}{N_c} (\bar{q}q), \quad \pi_a(x) = -2 \frac{G}{N_c} (\bar{q}i\gamma^5\tau_a q) \quad (a = 1, 2, 3).$$

После соответствующей подстановки в первом порядке разложения при больших значениях N_c получаем для эффективного действия $\mathcal{S}_{\text{eff}}(\sigma, \pi_a)$ следующее выражение:

$$\mathcal{S}_{\text{eff}}(\sigma, \pi_a) = -N_c \int d^2x \left[\frac{\sigma^2 + \pi_a^2}{4G} \right] + \tilde{\mathcal{S}}_{\text{eff}}. \quad (2)$$

Вклад кварковых полей в эффективное действие определяется членом $\tilde{\mathcal{S}}_{\text{eff}}$ в выражении (2) и явно записывается так:

$$\exp(i\tilde{\mathcal{S}}_{\text{eff}}) = N' \int [d\bar{q}] [dq] \times \\ \times \exp \left(i \left\{ \bar{q} [\gamma^\rho i\partial_\rho + \mu\gamma^0 + \nu\tau_3\gamma^0 - \sigma - m_0 - i\gamma^5\pi_a\tau_a] q \right\} d^2x \right).$$

Величины вакуумного среднего $\langle \sigma(x) \rangle$ и $\langle \pi_a(x) \rangle$ сконструированных бозонных полей, определяемые в соответствии с условиями экстремума эффективного действия в плотной среде, где $\mu \neq 0$, $\mu_I \neq 0$, могут иметь нетривиальную зависимость от x . В частности, в данной статье мы используем анзац, который может быть назван волной пионной плотности:

$$\begin{aligned} \langle \sigma(x) \rangle + m_0 &= M, & \langle \pi_3(x) \rangle &= 0, \\ \langle \pi_1(x) \rangle + i\langle \pi_2(x) \rangle &= \Delta e^{2ibx}, & \langle \pi_1(x) \rangle - i\langle \pi_2(x) \rangle &= \Delta e^{-2ibx}, \end{aligned} \quad (3)$$

где M , b , Δ постоянны и являются координатами точки глобального минимума термодинамического потенциала (ТДП) $\Omega(M, b, \Delta)$, который определяется через эффективное действие известным образом:

$$\Omega(M, b, \Delta) \int d^2x = -\frac{1}{N_c} \mathcal{S}_{\text{eff}} \{ \sigma(x), \pi_a(x) \} \Big|_{\sigma(x)=\langle \sigma(x) \rangle, \pi_a(x)=\langle \pi_a(x) \rangle}.$$

При вычислениях с учетом выбранного нами анзаца необходимо совершить поворот:

$$q = (\psi_u, \psi_d)^T \rightarrow \chi = (\chi_u, \chi_d)^T =$$

$$= (\psi_u e^{ibx}, \psi_d e^{-ibx})^T = e^{i\tau_3 bx} q. \quad (4)$$

С учетом преобразований (4) ТДП приобретает вид

$$\Omega(M, b, \Delta) = \frac{(M - m_0)^2 + \Delta^2}{4G} + \frac{i}{(2\pi)^2} \int d^2 p \ln \det D, \quad (5)$$

где $D = (p' - M + \mu\gamma_0 + \nu\tau_3\gamma_0 + \tau_3\gamma_1 b - i\Delta\tau_1\gamma_5)$. Корни уравнения $\det D = 0$, найденные аналитически, $\eta^{(i)} = p_0^{(i)} + \mu$ ($i = \overline{1, 4}$), дают спектр модели, после чего выражение для термодинамического потенциала приводится к следующему виду:

$$\Omega(M, b, \Delta) = \frac{(M - m_0)^2 + \Delta^2}{4G} - \frac{1}{4\pi} \int_{-\infty}^{\infty} dp_1 \{ |\eta^{(1)} - \mu| + |\eta^{(2)} - \mu| + |\eta^{(3)} - \mu| + |\eta^{(4)} - \mu| \}. \quad (6)$$

Для устранения ультрафиолетовой расходимости в последнем выражении можно воспользоваться традиционной для моделей типа ГН и НЙЛ регуляризацией с помощью введения обрезания по импульсам Λ (более детально процедура перенормировки массивной модели типа ГН дана, например, в [2, 3]):

$$\Omega(M, b, \Delta) = \lim_{\Lambda \rightarrow \infty} \left\{ \Omega_{\text{reg}}(M, b, \Delta) \Big|_{G \rightarrow G(\Lambda)} + \frac{\Lambda^2}{\pi} \right\}. \quad (7)$$

Однако полученный таким образом ТДП демонстрирует нефизичную зависимость от волнового вектора b при нулевой амплитуде Δ и неограниченность по нему снизу. Подлинным термодинамическим потенциалом системы $\Omega^{\text{phys}}(M, b, \Delta)$ является следующая, полученная после дополнительного вычитания величина [4]:

$$\Omega^{\text{phys}}(M, b, \Delta) = \Omega(M, b, \Delta) - \Omega(M, b, 0) + \Omega(M, 0, 0). \quad (8)$$

Причина обнаруженной нефизичности регуляризации выражения (6) кроется в использовании *регуляризации с симметричным обрезанием по импульсам* (7), что подробно обсуждается в нашей предыдущей работе [5], а также в работах [6, 7].

Фазовая структура модели с лагранжианом (1) при $m_0 = 0$ хорошо изучена для множества частных случаев: например, в [8] рассмотрено образование только однородных конденсатов, в [5] обсуждались условия существования фазы с волнами киральной плотности. Для решения вопроса о структуре основного состояния из всех возможных форм пространственно неоднородных решений (киральные кристаллы, спирали и т. д.; см., например, [9–11]) в настоящей работе выбраны конденсаты в виде волны киральной плотности (ВКП) (см. ниже) и пионной плотности (3) (ВПП).

2. Фазы ВКП и ВПП в безмассовом случае ($m_0 = 0$)

Фазовая структура в однородном случае ($b = 0$).

Изучение фазового портрета рассматриваемой модели для случая однородных конденсатов начнем с выражения (5), положив $b = 0$, тогда

$$\eta^{(1),(2),(3),(4)} = \pm \mathcal{E}_{\Delta}^{\pm},$$

$$\mathcal{E}_{\Delta}^{\pm} = \sqrt{(\mathcal{E}^{\pm})^2 + \Delta^2}, \quad \mathcal{E}^{\pm} = E \pm \nu, \quad E = \sqrt{p_1^2 + M^2}.$$

После применения схемы (7) получаем ренорминвариантное выражение для ТДП

$$\Omega(M, \Delta) = V_0 \left(\sqrt{M^2 + \Delta^2} \right) - \int_0^{\infty} \frac{dp_1}{\pi} \left\{ \mathcal{E}^+ \Delta + \mathcal{E}^- \Delta - 2\sqrt{p_1^2 + M^2 + \Delta^2} \right\} - \int_0^{\infty} \frac{dp_1}{\pi} \{ (\mu - \mathcal{E}^+ \Delta) \theta(\mu - \mathcal{E}^+ \Delta) + (\mu - \mathcal{E}^- \Delta) \theta(\mu - \mathcal{E}^- \Delta) \},$$

где

$$V_0(M) \equiv \lim_{\Lambda \rightarrow \infty} \left\{ \frac{M^2}{4G(\Lambda)} - \frac{2}{\pi} \int_0^{\Lambda} dp_1 \sqrt{p_1^2 + M^2} + \frac{\Lambda^2}{\pi} \right\} = \frac{M^2}{2\pi} \left[\ln \left(\frac{M^2}{M_0^2} \right) - 1 \right],$$

а M_0 — свободный параметр, равный динамической массе кварков в вакууме. Результаты численного исследования полученного выражения для случая однородного кирального конденсата демонстрирует фазовая диаграмма, представленная на рис. 1 (более детальное исследование см. в [8]).

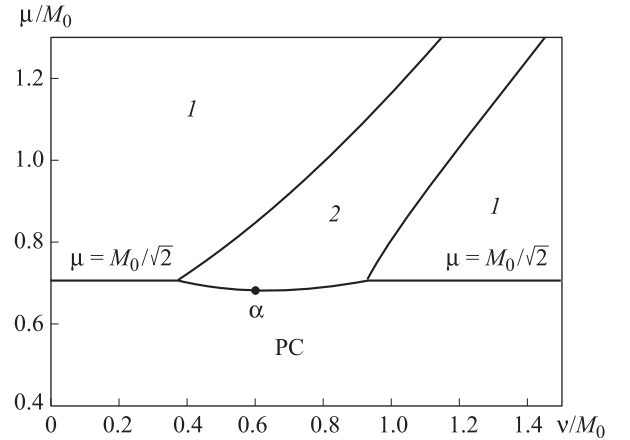


Рис. 1. Фазовый портрет для случая пространственно однородных конденсатов: 1 — симметричная фаза с безмассовыми кварками, 2 — фаза с массивными кварками, PC — фаза заряженной пионной конденсации; α — самая нижняя точка фазы 2 с соответствующим значением $\mu_{\alpha} \approx 0.69M_0$ и $v_{\alpha} \approx 0.6M_0$

Рассмотрение фазы ВКП. В этом случае форма ТДП исследуется, в отличие от (3), с помощью anzaca другого вида, а именно

$$\sigma(x) = M \cos(2bx), \\ \pi_3(x) = M \sin(2bx), \quad \pi_1(x) = \Delta, \quad \pi_2(x) = 0.$$

Другим окажется и вид кирального поворота: $q_w = \exp(i\gamma^5 \tau_3 b x) q$. Детали вычислений, которые мы опустим, даны в работе [5]. Итоговый ТДП запишется в форме

$$\Omega^{\text{phys}}(M, b, \Delta) = V_0 \left(\sqrt{M^2 + \Delta^2} \right) -$$

$$\begin{aligned}
 & -\lim_{\Lambda \rightarrow \infty} \left\{ \int_0^\Lambda \frac{dp_1}{\pi} \left[E^+_{\Delta} + E^-_{\Delta} - 2\sqrt{p_1^2 + M^2 + \Delta^2} \right] \right\} - \\
 & - \int_0^\infty \frac{dp_1}{\pi} \{ (\mu - E^+_{\Delta}) \theta(\mu - E^+_{\Delta}) + (\mu - E^-_{\Delta}) \theta(\mu - E^-_{\Delta}) \} + \\
 & + \frac{(b + \nu)^2}{\pi},
 \end{aligned}$$

где использованы $\theta(x)$ -функция Хевисайда и спектр модели:

$$E_{\Delta}^{\pm} = \sqrt{(E^{\pm})^2 + \Delta^2}, \quad E^{\pm} = E \pm (b + \nu), \quad E = \sqrt{p_1^2 + M^2}.$$

Как видно из фазового портрета, изображенного на рис. 2, при выборе данного анзаца возможно образование двух фаз КВП (CDW_1 и CDW_2) и однородной пионной фазы (РС). Оказывается, что фазы КВП являются более предпочтительными, чем однородная киральная фаза и даже чем вакуумная фаза.

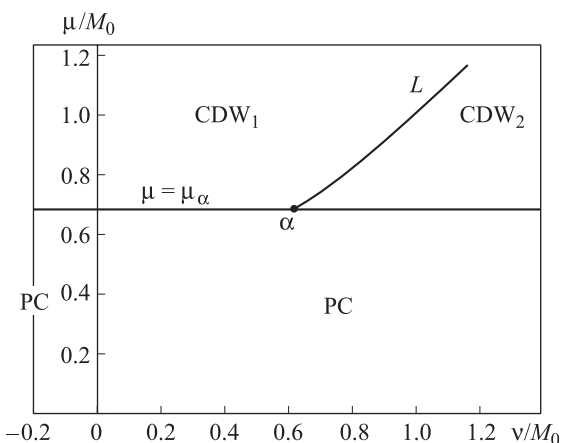


Рис. 2. Фазовый портрет модели с волной киральной плотности. Для фазы CDW_1 (CDW_2) $b > 0$ ($b < 0$). Кривая L ($b = 0$) отвечает однородной фазе с нарушенной киральной симметрией. Та же фаза (РС) имеет место и на интервале $0 < \mu < \mu_{\alpha} \approx 0.69M_0$ на оси μ ; α — критическая точка раздела фаз с координатами $\mu = 0.69M_0$, $\nu_{\alpha} \approx 0.6M_0$

Фаза с пионной волнной плотности. Из фазовой диаграммы на рис. 3, полученной при исследовании ТДП (8), и уравнений щели для переменных M , Δ и b при поиске решений в виде волн пионной плотности (3) видно, что существует критическая точка μ_{α} , такая, что если $\mu < \mu_{\alpha}$, то имеет место только однородный пионный конденсат, а в случае, когда $\mu > \mu_{\alpha}$, материя находится в виде ВПП, за исключением тонкой полоски фазы нормальной кварковой материи вблизи линии $\mu = \nu$. Полоска эта имеет ширину всего $0.03M_0$ и заканчивается в критической точке α , где $\mu = \mu_{\alpha} = 0.69M_0$, $\nu = 0.6M_0$.

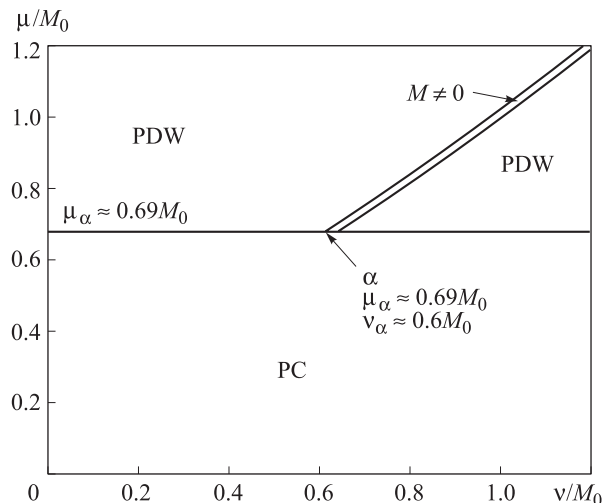


Рис. 3. Фазовый портрет модели с волной пионной плотности. РС — фаза однородного пионного конденсата ($\mu < \mu_{\alpha}$), PDW — неоднородная фаза с волной пионной плотности (при $\mu > \mu_{\alpha}$). Область рисунка, обозначенная как $M \neq 0$, соответствует однородной кирально несимметричной фазе. Ширина этой области $\sim 0.03M_0$; α — критическая точка раздела фаз

Заключение

В настоящей статье для безмассового случая $(1+1)$ -мерной модели НЙЛ в присутствии химических потенциалов двух типов и при нулевой температуре было установлено, что для значений барионного химического потенциала $\mu < \mu_c$ и произвольных ненулевых значений μ_l образуется только фаза заряженного пионного конденсата. Пространственно неоднородные формы кирального и пионного конденсатов в виде волн плотности заданного вида образуются при значении μ выше критического. При этом результаты численных вычислений не позволяют отдать предпочтение какой-либо из фаз: КВП либо ВПП, так как в разных областях пространства появление их равновероятно. В связи с этим представляется важным изучение вопроса о существовании скрытой симметрии в модели, о выделенности в связи с этим двумерного случая и расширении числа измерений.

Список литературы

1. Gross D.J., Neveu A. // Phys. Rev. D. 1974. **10**. P. 3235.
2. Barducci A., Casalbuoni R., Modugno M., Pettini G. // Phys. Rev. D. 1995. **51**. P. 3042.
3. Жуковский В.Ч., Клименко К.Г., Хунжуа Т.Г. // Вестн. Моск. ун-та. Физ. Астрон. 2010. № 1. С. 23.
4. Mu C.f., He L.y., Liu Y.x. // Phys. Rev. D. 2010. **82**. P. 056006.
5. Ebert D., Gubina N.V., Klimenko K.G. et al. // Phys. Rev. D. 2011. **84**. P. 025004.
6. Nakano E., Tatsumi T. // Phys. Rev. D. 2005. **71**. P. 114006.
7. Nickel D. // Phys. Rev. D. 2009. **80**. P. 074025.
8. Ebert D., Klimenko K.G. // arXiv: 0902.1861.
9. Carignano S., Nickel D., Buballa M. // Phys. Rev. D. 2010. **82**. P. 054009.
10. Basar G., Dunne G.V., Thies M. // Phys. Rev. D. 2009. **79**. P. 105012.
11. Basar G., Dunne G.V. // JHEP. 2011. **1101**. P. 127. arXiv:1007.1962;

Pion and chiral density waves in (1+1)-dimensional Nambu–Jona-Lasinio model

N. V. Gubina¹, V. Ch. Zhukovsky^{1,a}, K. G. Klimenko^{2,b}, S. G. Kurbanov¹

¹*Department of Theoretical Physics, Faculty of Physics, M. V. Lomonosov Moscow State University, Moscow 119991, Russia.*

²*Institute of High-Energy Physics, Russian Academy of Sciences, and University «Dubna» (Protvino Branch), Protvino 142281, Moscow Region, Russia.*

E-mail: ^azhukovsk@phys.msu.ru, ^bkklim@ihep.ru.

Phase structure of massless NJL₂ model with a quark number chemical potentials μ and an isospin chemical potentials μ_I and the formation possibility of chiral density wave (CDW) and pion density wave (PDW) condensates are investigated in the limit of a large number of colors ($N_c \rightarrow \infty$).

Keywords: NJL-model, chemical potential, thermodynamic potential, phase diagram, spatially inhomogeneous condensate, chiral density wave, pion density wave.

PACS: 11.10.Kk, 02.60.Pn.

Received 21 September 2011.

English version: *Moscow University Physics Bulletin* 1(2012).

Сведения об авторах

1. Губина Надежда Валерьевна — аспирантка; тел.: (495) 939-31-77, e-mail: gubinanadya@gmail.com.
2. Жуковский Владимир Чеславович — докт. физ.-мат. наук, профессор; тел.: (495) 939-31-77, e-mail: zhukovsk@phys.msu.ru.
3. Клименко Константин Григорьевич — докт. физ.-мат. наук, гл. науч. сотрудник, профессор; e-mail: kklim@ihep.ru.
4. Курбанов Сердар Гельдимуратович — аспирант; тел.: (495) 939-31-77, e-mail: serdarkurbanov@gmail.com.